



PERÚ

Ministerio  
de la Producción



IMARPE  
INSTITUTO DEL MAR DEL PERÚ

# BOLETÍN SEMANAL OCEANOGRÁFICO Y BIOLÓGICO-PESQUERO

Año 10, N° 27

Semana 27: 30 de junio - 06 de julio de 2025

## RESUMEN

- La anomalía promedio de la temperatura superficial del mar (TSM), con respecto a la semana anterior, ascendió 0,076 °C en la región Niño 3.4 (+0,08 °C) y 0,2 °C en la Región Niño 1+2 (+0,48 °C), de acuerdo al producto OSTIA.
- Las aguas cálidas (TSM > 20 °C) provenientes del norte se proyectaron hacia Paita, generando un frente hídrico conformado por las isotermas de 20-24°C y un incremento térmico de hasta 3 °C (Talara). Condiciones favorecidas por el debilitamiento del viento ocurrido durante la semana.
- El modelo MERCATOR, sugiere la intromisión de las AES hacia Talara y el permanente acercamiento de las ASS frente a la costa norte y centro, favoreciendo al calentamiento de hasta +3,4 °C frente a Talara y la prevalencia de núcleos cálidos de +1 °C dispersos entre Punta Falsa y Pucusana.
- La información *in situ* registrada entre fines de junio e inicios de julio, evidenció frente a Paita condiciones neutras sobre los 50 m y cálidas entre los 50 y 300 m. En Chicama la condición térmica predominante fue neutra, con la presencia de un núcleo cálido a 50 m y otro frío por fuera de las 70 mn. La presencia de las ASS fue evidente en ambas secciones con una mayor influencia frente a Paita y sobre los 50 m, del mismo modo que a 52 mn de Huacho. Las iso-oxigenas e isotermas indican procesos de afloramiento dentro de las 20 mn, sin embargo, las aguas afloradas fueron de mezcla.
- El incremento del nivel del mar en el sector ecuatorial, sugiere el arribo de la OK cálida hacia la costa Sudamericana.
- La actividad pesquera de anchoveta en la región Norte-Centro se concentró dentro de las 15 mn entre Punta La Negra y Pimentel, hasta las 30 mn de Chimbote-Huarmey y dentro de las 20 mn de Huacho a Pucusana y desde Pisco hasta Bahía Independencia.

## PRONÓSTICO

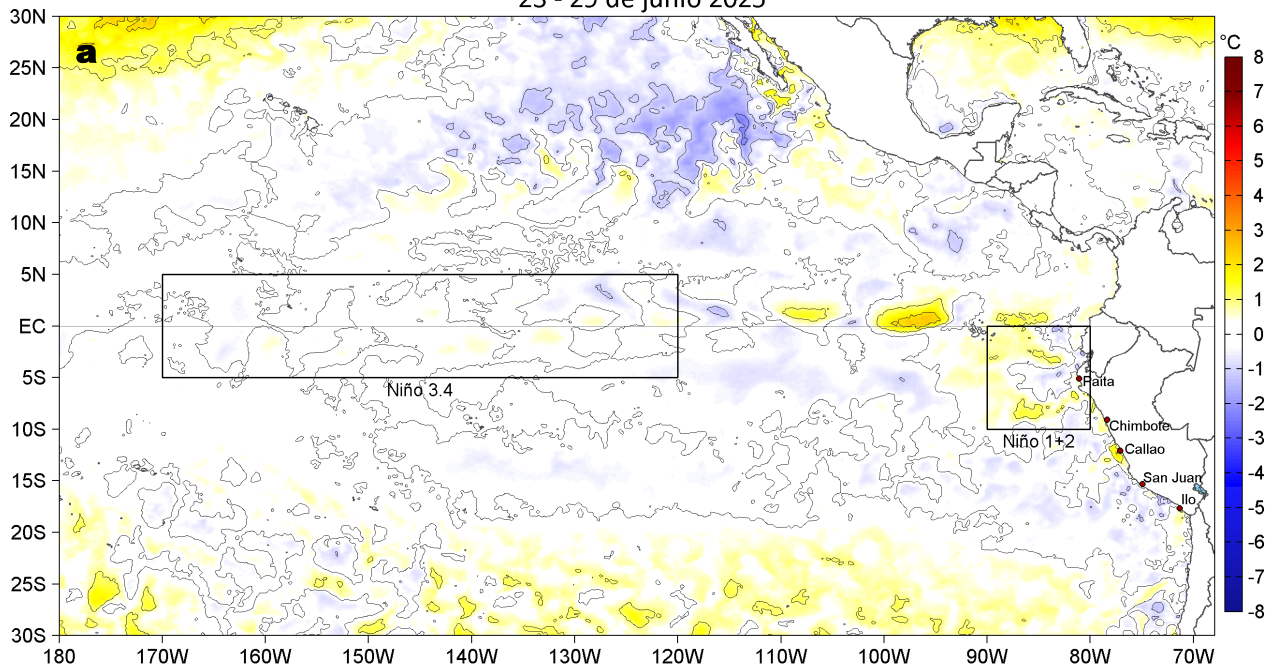
- Del 08 al 13 de julio, frente a la mayor parte de la costa, la velocidad del viento, variaría de moderada a fuerte hasta el 11 de julio, debilitándose del 12 de julio en adelante y generando el predominio de anomalías negativas menores a -1,0 m/s.
- De acuerdo con el modelo MERCATOR, en la región Niño 1+2, hasta el 16 de julio se espera una ligera atenuación de las anomalías de TSM, hasta alcanzar el valor de cero.

Callao, lunes 07 de julio del 2025

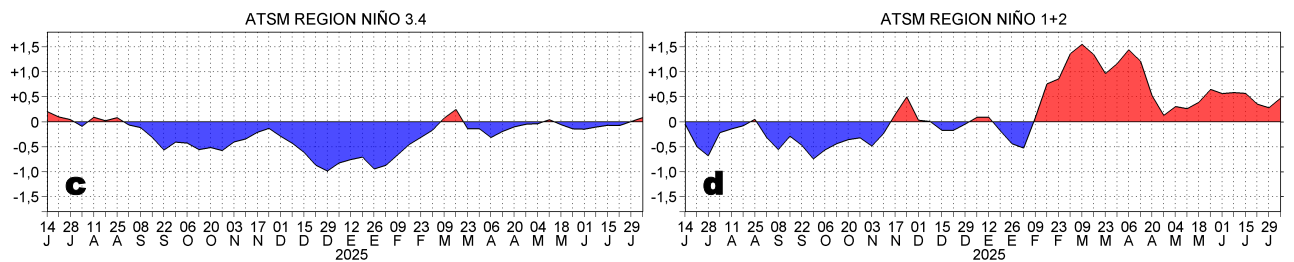
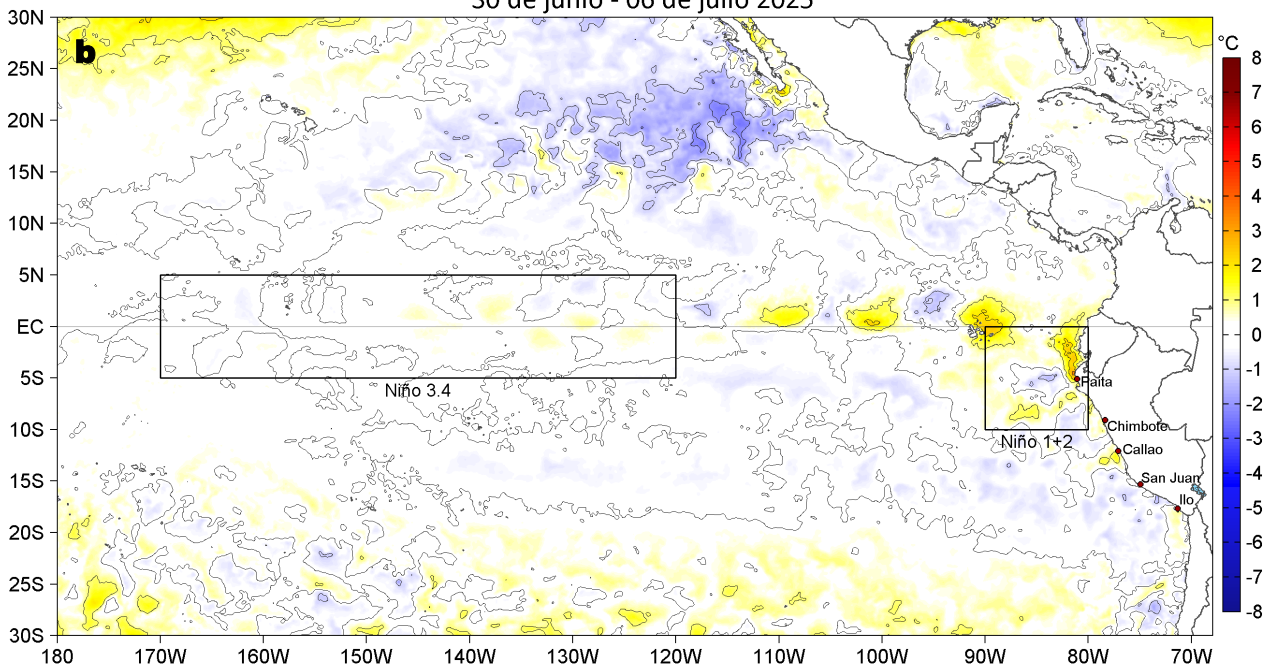
Servicio de Información Oceanográfica del Fenómeno El Niño (SIOFEN)  
Dirección General de Investigaciones en Oceanografía y Cambio Climático (DGIOCC) y  
Dirección General de Investigaciones de Recursos Pelágicos (DGIRP)  
Instituto del Mar del Perú (IMARPE)

# I. CONDICIONES DE MACROESCALA

Anomalías de la Temperatura Superficial del Mar (°C)  
23 - 29 de junio 2025

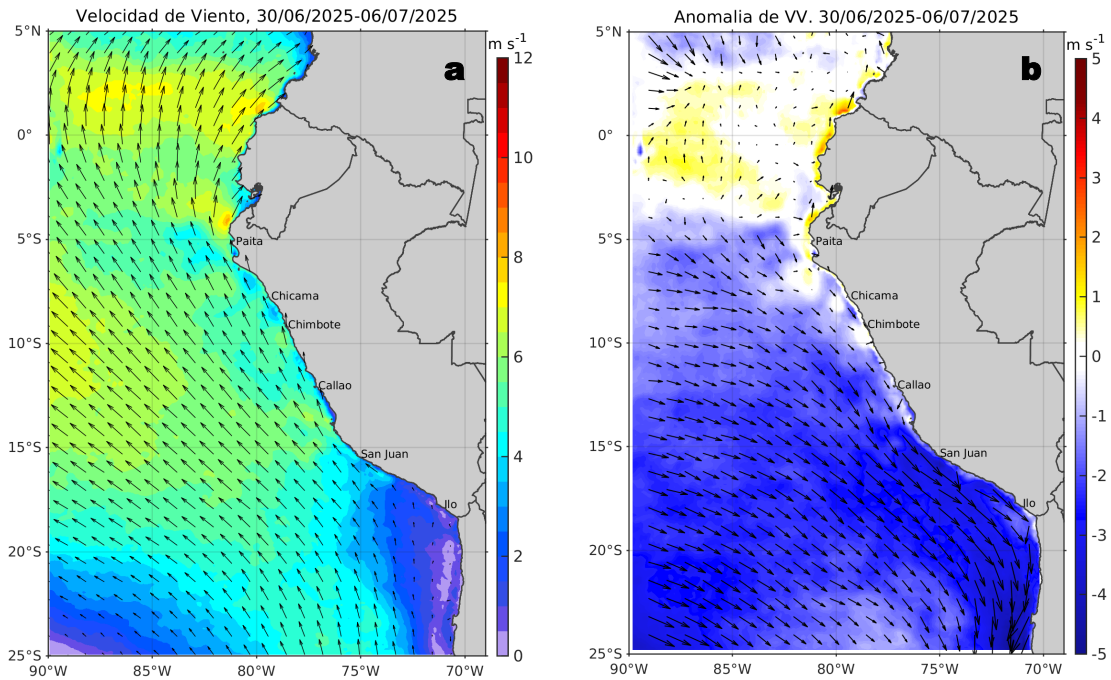


Anomalías de la Temperatura Superficial del Mar (°C)  
30 de junio - 06 de julio 2025



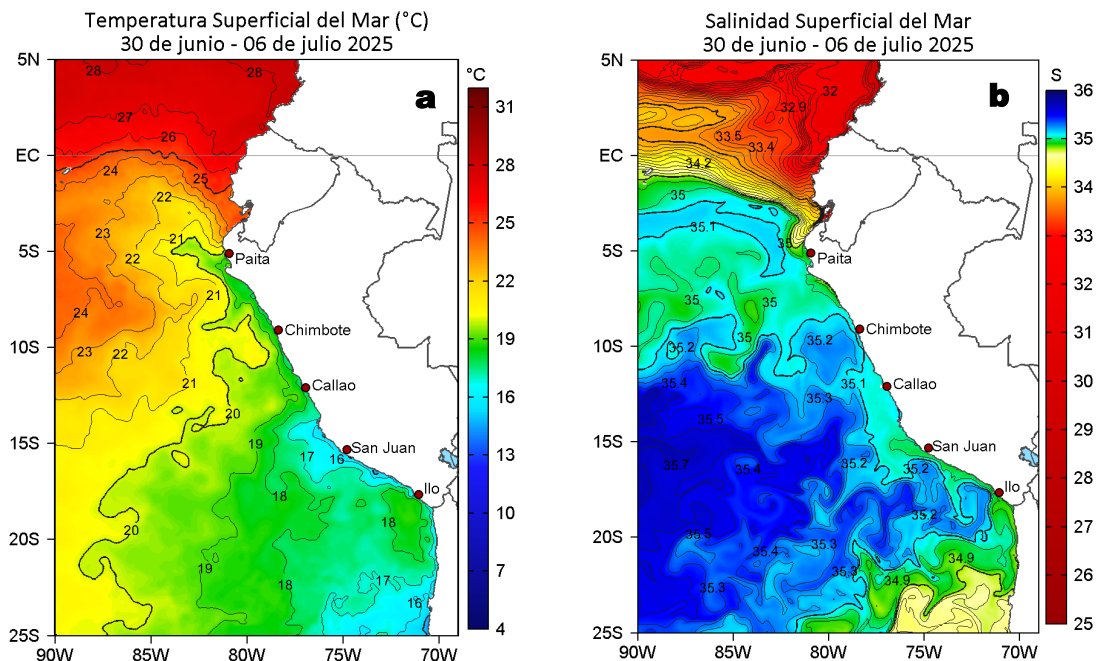
**Figura 1.** Anomalías promedio de la temperatura superficial del mar (TSM, °C) en el océano Pacífico tropical del 23 al 29 de junio (a) y del 30 de junio al 06 de julio (b) del 2025, así como la variación del promedio semanal durante el último año para la región Niño 3.4 (c) y la región Niño 1+2 (d). Las regiones Niño 3.4 y Niño 1+2 en los sectores central y oriental del océano, respectivamente, están delimitadas con una línea de color gris. Datos: OSTIA-UKMO-L4-GLOB-v2.0 (UK Met Office, 2012; Donlon et al, 2012). Climatología: 1991-2020.

## II. CONDICIONES DE MESOESCALA



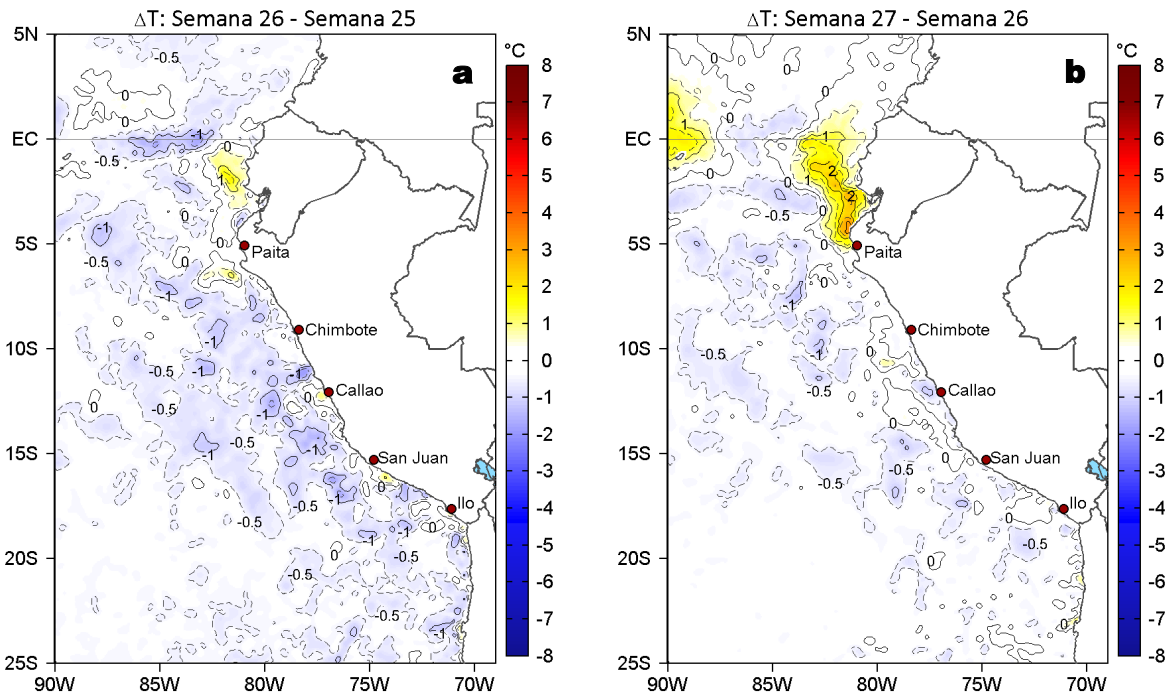
**Figura 2.** Distribución espacial promedio de: a) la velocidad (m/s) y dirección del viento (°) y b) anomalías de la velocidad (m/s) y dirección del viento (°) frente a la costa peruana del 30 de junio al 06 de julio del 2025. La velocidad del viento y su anomalía se presentan en matices de colores a la derecha. La dirección del viento y su anomalía se presentan con flechas. Fuente de los datos: CMEMS. Climatología: 2000-2020.

En promedio, entre Máncora y San Juan de Marcona, la velocidad del viento (VV) se mantuvo en el rango moderado (4,1 a 6,8 m/s) a fuerte (6,8 a 10,4 m/s) en el sector oceánico y frente a la costa central; al norte de Máncora, al sur de San Juan de Marcona y en la franja bien costera se mantuvo en el rango débil (0,7 a 4,1 m/s) a moderado (4,1 a 6,8 m/s). Las anomalías negativas de la VV y del noroeste dominaron frente a la mayor parte de la costa y el sector oceánico.



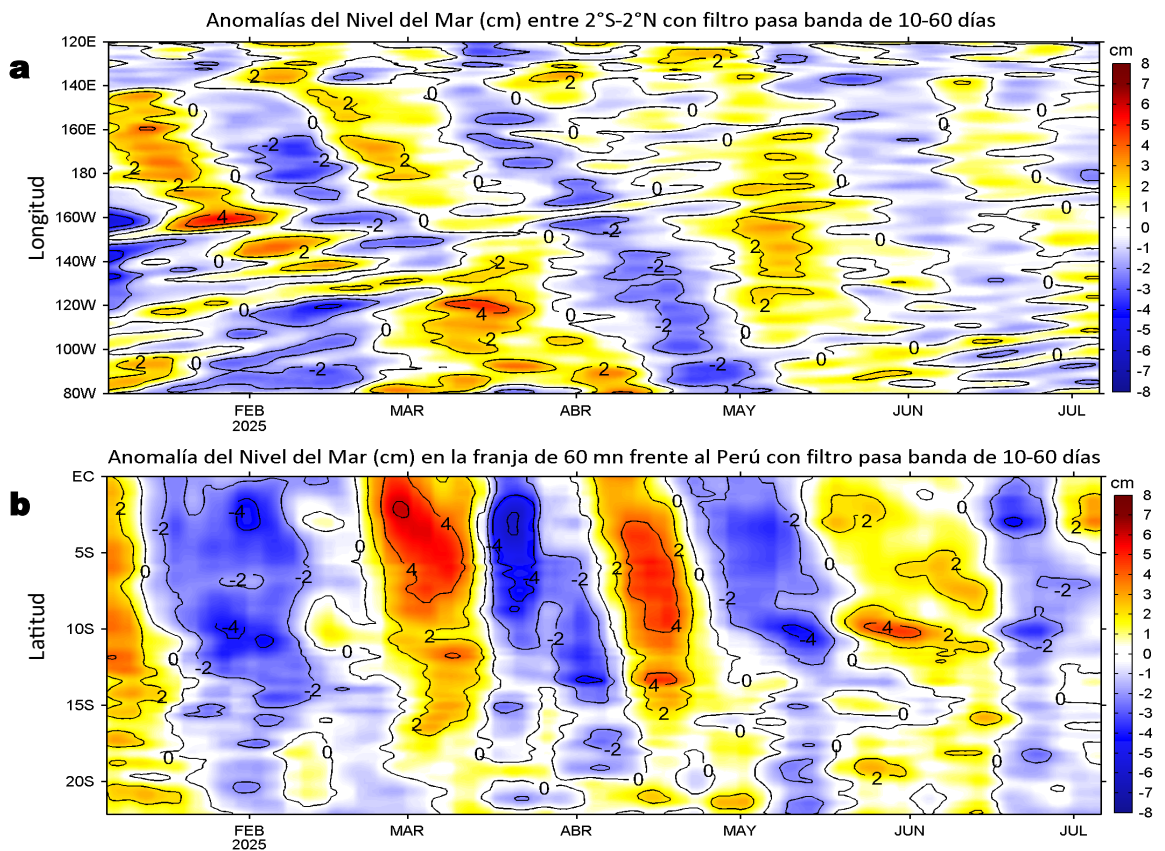
**Figura 3.** Distribución espacial promedio de la: a) Temperatura superficial del Mar (TSM, °C) y b) Salinidad superficial del mar (SSM) del 30 de junio al 06 de julio del 2025. Datos: OSTIA-UKMO-L4-GLOB-v2.0 (UK Met Office, 2012; Donlon et al, 2012) para (a) y del GLOBAL\_ANALYSISFORECAST\_PHY\_001\_024 (Lellouche, J. M. et al, 2013) para (b).

La TSM en la franja adyacente al litoral peruano varió entre 24,9 °C (Tumbes) y 14,6 °C (Ocoña). Las aguas cálidas superiores a 20 °C se proyectaron hacia Paíta, generando un frente hídrico conformado por las isotermas de 20-24°C. Hacia el sur, prevaleció la banda de aguas frías (TSM < 20 °C) con una extensión que alcanzó las 200 mn frente a Paíta y Huanchaco (Figura 3a). De acuerdo al modelo Mercator (Figura 3b), las Aguas Ecuatoriales Superficiales (AES; SSM < 34,8) se proyectaron hacia Talara, mientras que, las aguas costeras frías (ACF; 34,8 < SSM < 35,1) se presentaron en sectores muy costeros entre Paíta-Huanchaco y al sur de Bahía Independencia. Las Subtropicales Superficiales (ASS; SSM > 35,1) mantuvieron su acercamiento hacia la costa norte y centro, en especial entre Huanchaco y Huacho.



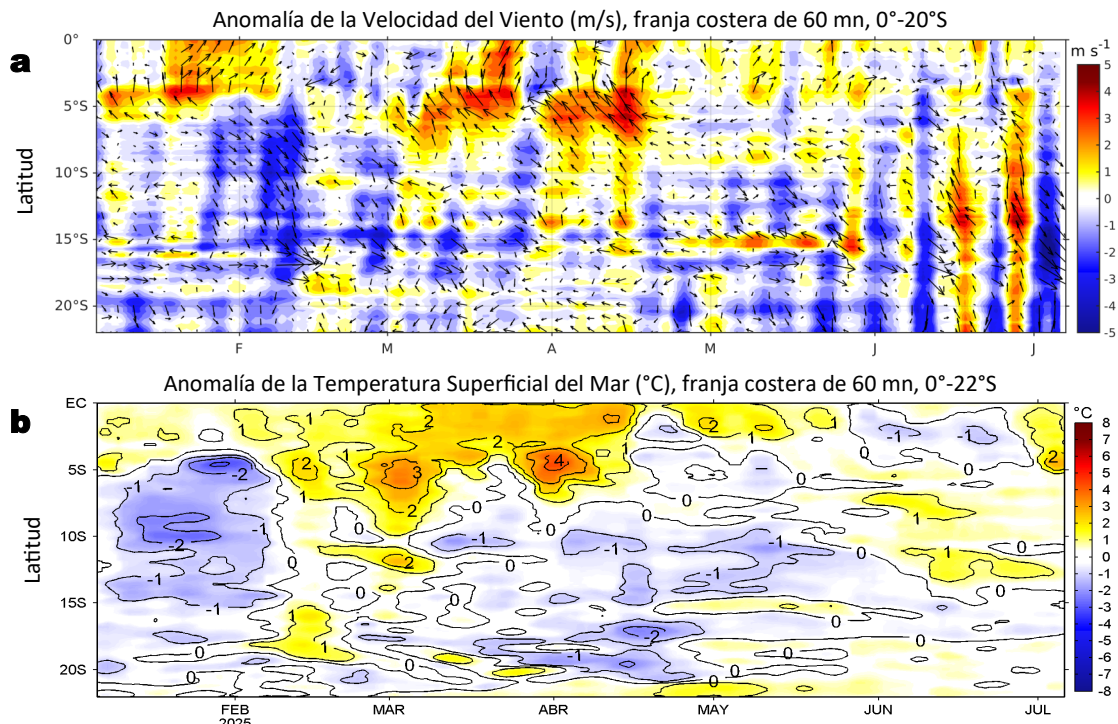
**Figura 4.** Variación semanal de la TSM (°C) en el océano Pacífico tropical oriental entre: a) vigésima sexta (23-29 de junio) y vigésima quinta (16-22 de junio) semana del 2025 y b) vigésima séptima (30 de junio - 06 de julio) y vigésima sexta (23-29 de junio) semana del 2025. Los mapas, que indican el grado de calentamiento o enfriamiento de una semana a otra, provienen de OSTIA-UKMO-L4-GLOB-v2.0 (UK Met Office, 2012; Donlon et al, 2012).

Con respecto a la semana anterior (Figura 4b), la TSM se incrementó en hasta 3 °C, desde Paíta hacia el sector ecuatorial. Hacia el sur, la TSM en general presentó cambios poco significativos, con núcleos de descenso de hasta 1 °C.



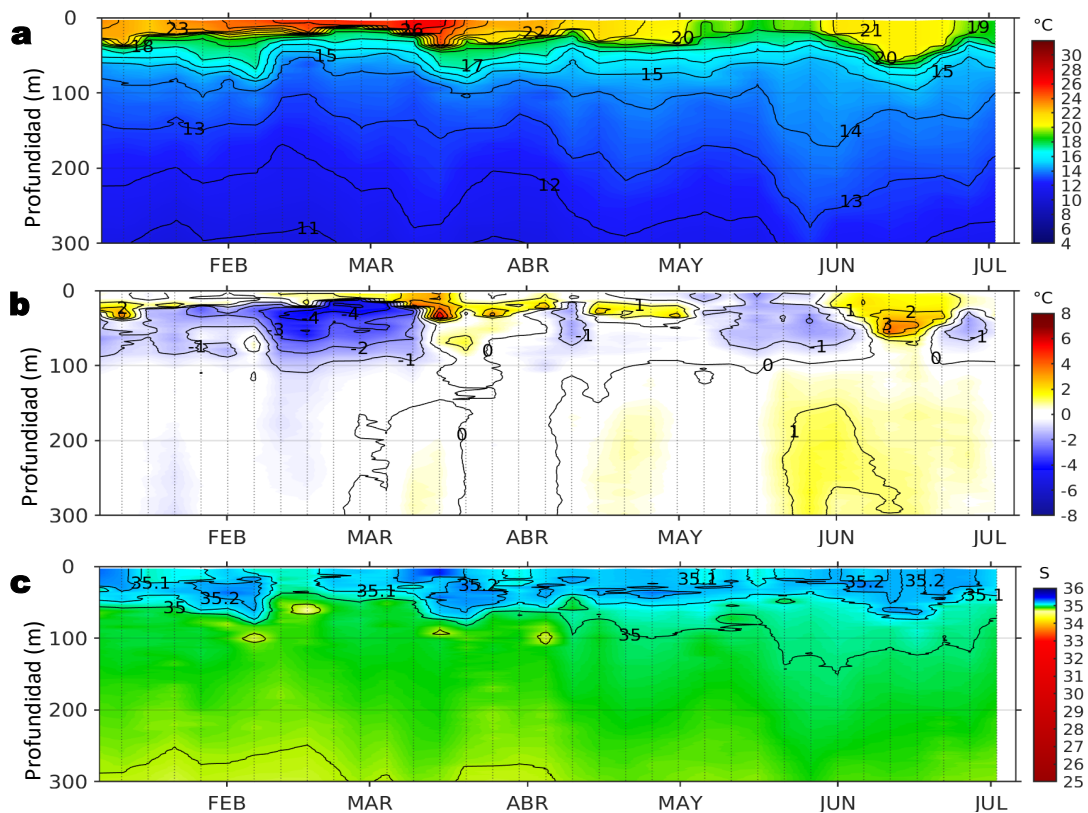
**Figura 5.** Anomalías diarias del nivel del mar (cm) con filtro pasa banda de 10-60 días para: a) la franja de 2°S-2°N en el Pacífico ecuatorial y b) la franja de 60 mn adyacente a la costa entre el Ecuador geográfico y 22°S, actualizado al 06 de julio del 2025. Datos: CMEMS-DUACS. Climatología: 1993-2020.

En la franja costera de 60 mn, se evidenció el incremento del nivel mar, favoreciendo a la normalización de las anomalías de nivel del mar (ANM) filtradas al sur de Paíta, y el cambio a ANM filtradas positivas hacia el norte. En el Pacífico ecuatorial, las ANM filtradas positivas ampliaron su cobertura hacia el este, sugiriendo la aproximación de la OKE cálida hacia la costa Sudamericana.



**Figura 6.** Evolución de las anomalías diarias de: a) Velocidad del viento (m/s) y b) TSM (°C) de diciembre del 2024 al 06 de julio del 2025. Datos: CMEMS para (a) y OSTIA-UKMO-L4-GLOB-v2.0 para (b). Las anomalías fueron calculadas para una franja de 60 mn adyacente a la costa entre el ecuador geográfico y 20°S para (a) y 22°S para (b), según los promedios diarios de 2000-2020 para (a) y de 1991-2020 para (b). La barra de colores a la derecha muestra la escala de las anomalías en cada caso.

En la franja costera de 60 mn, entre Puerto Pizarro e Ilo, predominaron anomalías de VV de negativas, con un núcleo de anomalías más intensas, concentrado frente a San Juan de Marcona (Figura 6a). Estas condiciones contribuyeron al incremento de las condiciones cálidas al norte de Punta Falsa, así como la permanencia de condiciones neutras hacia el sur (Figura 6b).

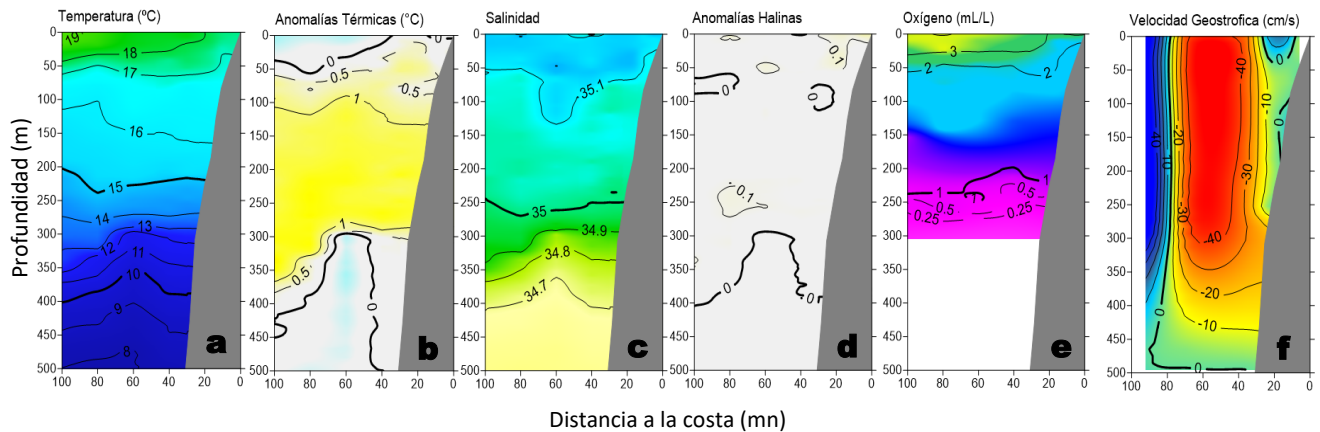


**Figura 7.** Diagrama Hovmöller de: a) Temperatura del mar (°C), b) Anomalías térmicas (°C) y c) Salinidad del mar registrados por el perfilador ARGO No. 6903004, a 52 mn (11,39°S y 78,37°W) frente a Huacho el día 02 de julio 2025. Las anomalías térmicas se calcularon de acuerdo a Domínguez et al (2023). Los puntos en la columna de agua indican los días en que el perfilador registró información. Datos: ARGO.

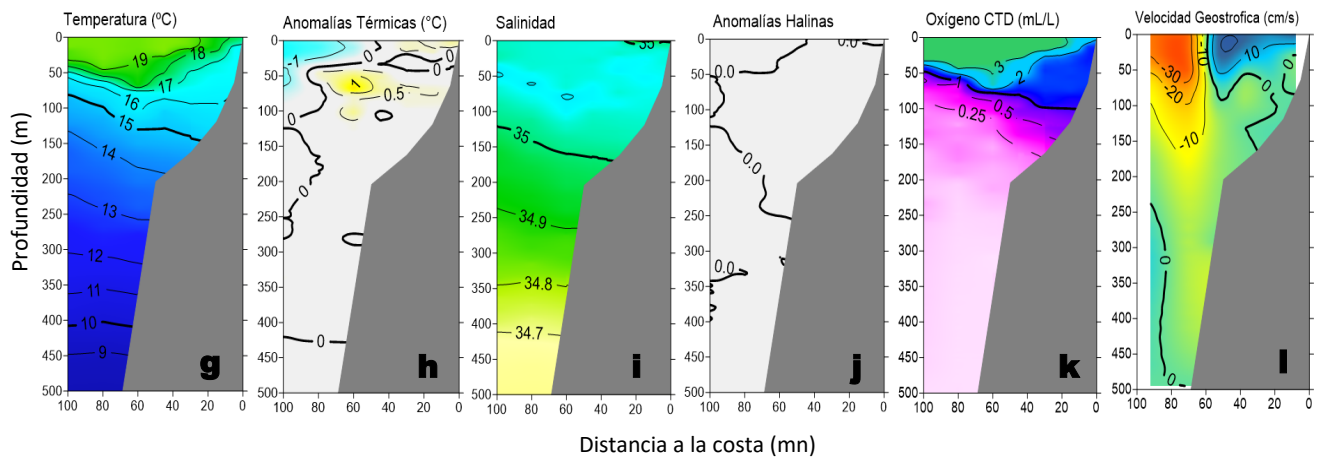
El perfilador ARGO, localizado a 52 mn frente a Huacho el día 02 de julio, registró en la superficie del mar valores de temperatura de 18,3 °C, anomalía térmica de +0,1 °C, y de salinidad de 35,13. En la columna de agua, en general, se observó la normalización de la temperatura con anomalías entre -0,5 °C y +0,5 °C.

## IIA. CONDICIONES REGISTRADAS EN MONITOREO BIO-OCEANOGRÁFICO

Sección: Paita (01 julio, 2025)  
Embarcación: BIC Flores



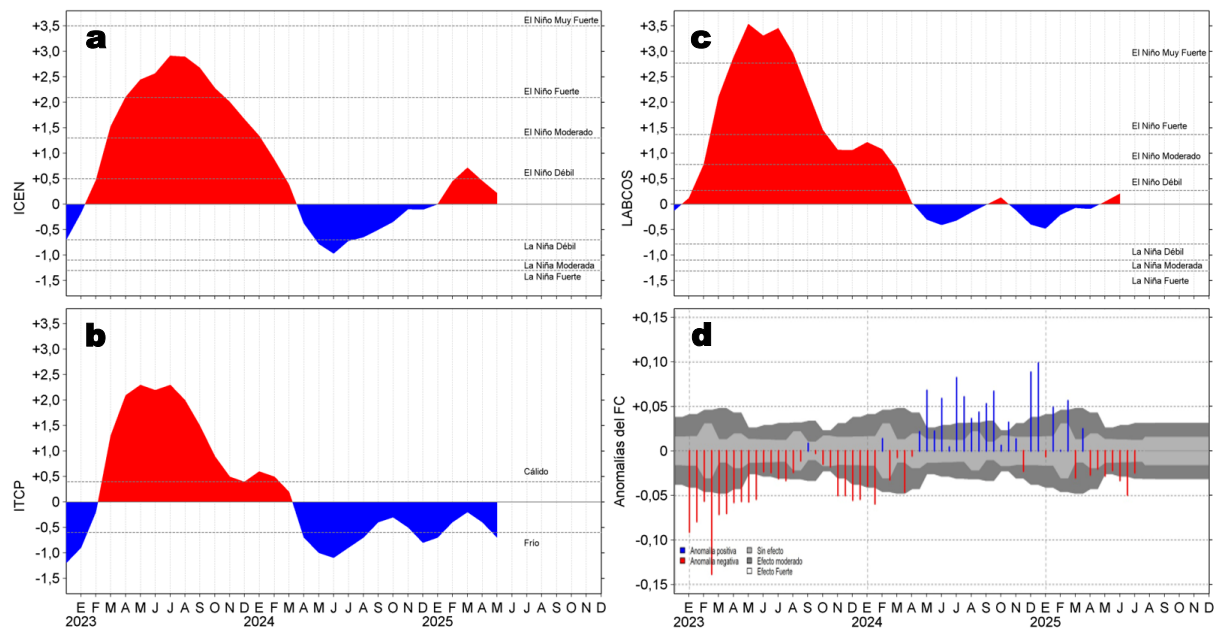
Sección: Chicama (28-29 de junio, 2025)  
Embarcación: BIC Flores



**Figura 8.** Estructura vertical de la a, g) temperatura (°C), b, h) anomalías térmicas (°C), c, i) salinidad, d, j) anomalías halinas, e, k) oxígeno (mL/L) y f, l) velocidad geostrofica, registradas dentro de las 100 mn costeras durante el “Monitoreo Bio-Oceanográfico frente a Paita y Chicama 2506”. Las anomalías se calcularon de acuerdo a Domínguez et al (2023).

La información *in situ* registrada entre fines de junio e inicios de julio evidenció frente a Paita condiciones neutras sobre los 50 m y cálidas entre los 50 y 300 m (Figura 8b). En Chicama la condición térmica predominante fue neutra, con la presencia de un núcleo cálido a 50 m y entre las 60-80 mn, así como otro núcleo frío por fuera de las 70 mn y sobre los 50 m (Figura 8 h). La presencia de las ASS fue evidente en ambas secciones con una mayor influencia frente a Paita, principalmente sobre los 50 m. En promedio la condición halina fue neutra en Paita y Chicama (Figura 8c, d, i y j). El comportamiento de las iso-oxigenas e isotermas indican procesos de afloramiento dentro de las 20 mn, sin embargo, las aguas afloradas fueron aguas de mezcla (ASS+ACF). Frente a Paita destacó un flujo intenso hacia el sur con velocidades mayores a 40 cm/s y entre las 30 y 70 mn, además de otro flujo hacia el sur (30cm/s) por fuera de las 80 mn (Figura 8f), mientras que, frente a Chicama se detectaron flujos al sur (30 cm/s) fuera de las 60 mn y otros dentro de las 60 mn hacia el norte (> 20 cm/s) (Figura 8l).

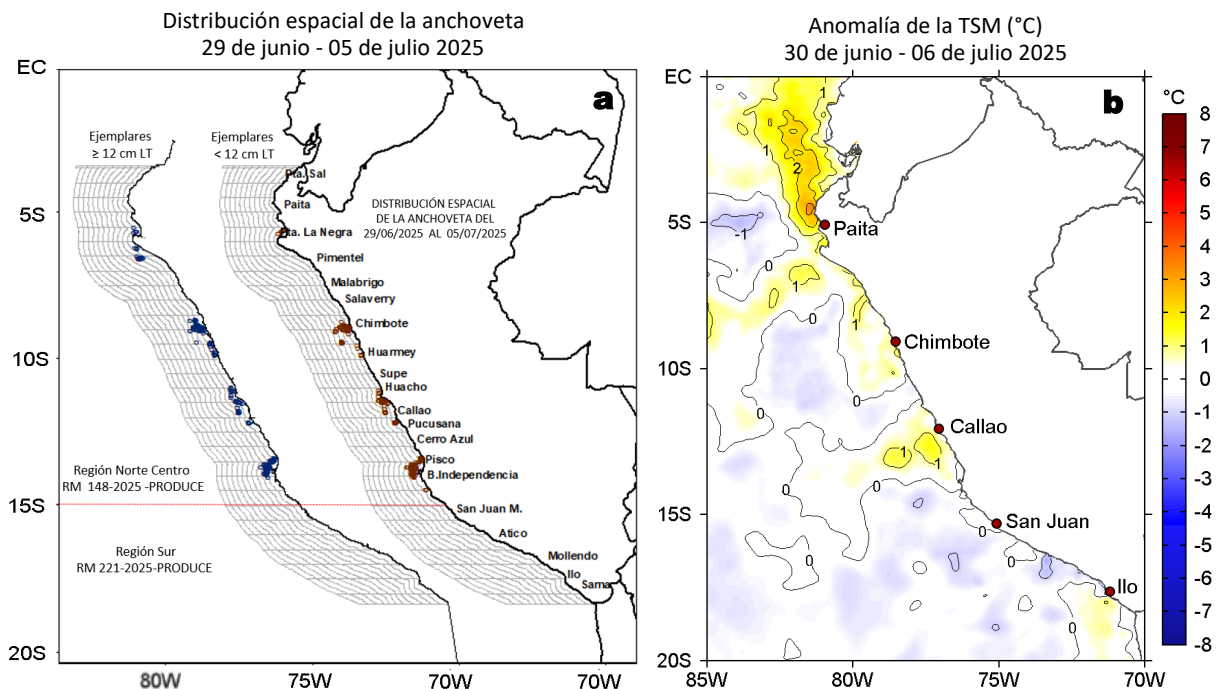
### III. ÍNDICES CLIMÁTICOS Y BIOLÓGICO-PESQUERO



**Figura 9.** Series de tiempo de: a) Índice Costero El Niño (ICEN; ENFEN, 2024), b) Índice Térmico Costero Peruano (ITCP; Quispe et al., 2016), c) Índice de Laboratorios Costeros (LABCOS; Quispe y Vásquez, 2015) y d) Anomalías del índice del factor de condición (AFC) de la anchoveta peruana *Engraulis ringens* (Cuba et al., 2019) desde diciembre 2022 hasta julio del 2025.

El valor preliminar de junio para el LABCOS alcanzó +0,21 °C, valor dentro del rango neutro (Figura 9c). Con respecto a la condición somática de la anchoveta *Engraulis ringens*, en lo que va de julio, la anomalía del factor de condición mantuvo un valor LT negativo con una intensidad dentro del rango de efecto moderado (Figura 9d).

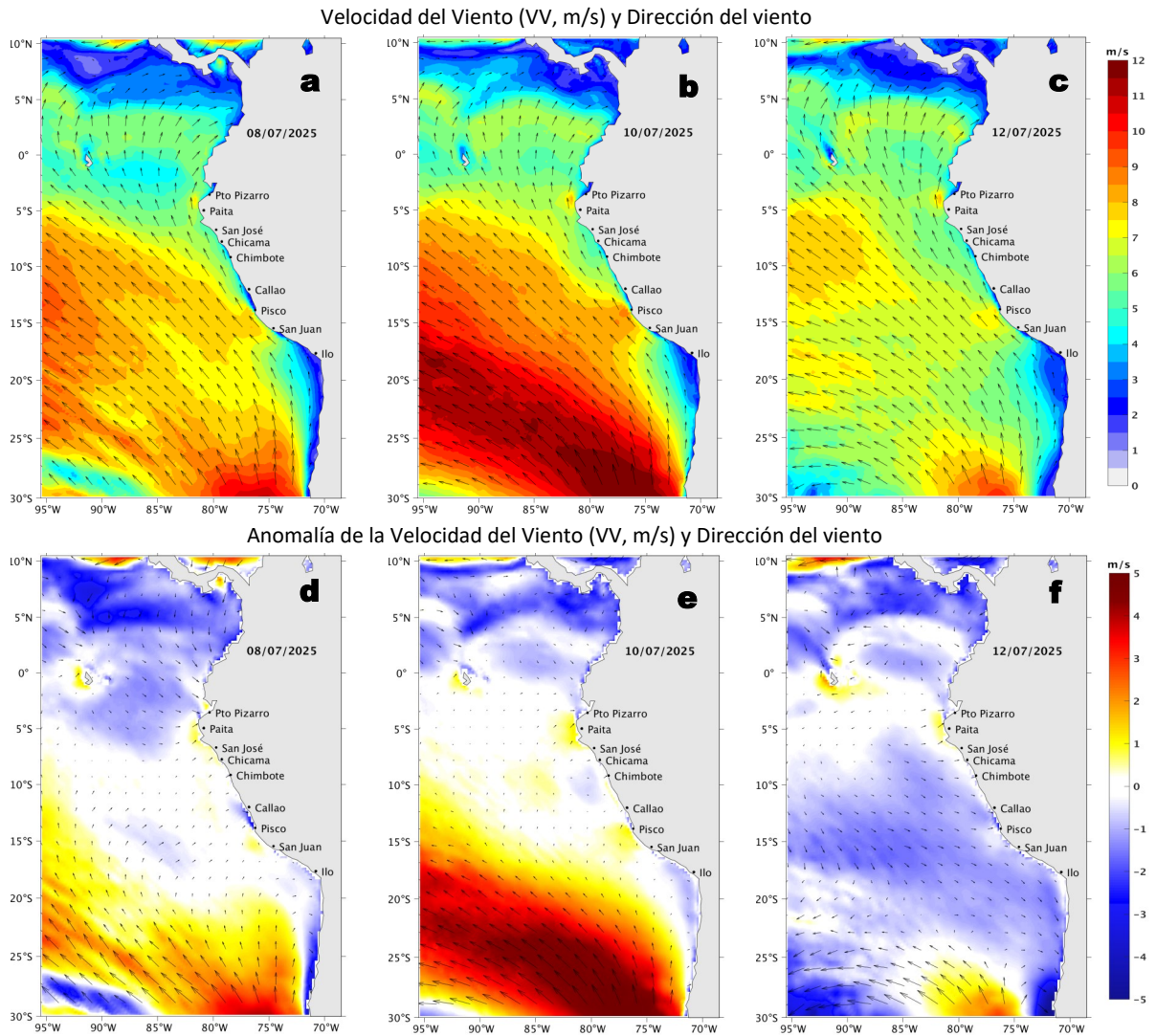
### IV. ASPECTOS BIOLÓGICO-PESQUEROS



**Figura 10.** a) Distribución de la anchoveta según porcentaje de juveniles por región y su relación con b) las anomalías térmicas (°C) para la semana del 30 de junio al 06 de julio de 2025. Datos: OSTIA-UKMO-L4-GLOB-v2.0 (UK Met Office, 2012; Donlon et al, 2012). Las anomalías térmicas se calcularon con respecto de la climatología para el periodo 1991-2020.

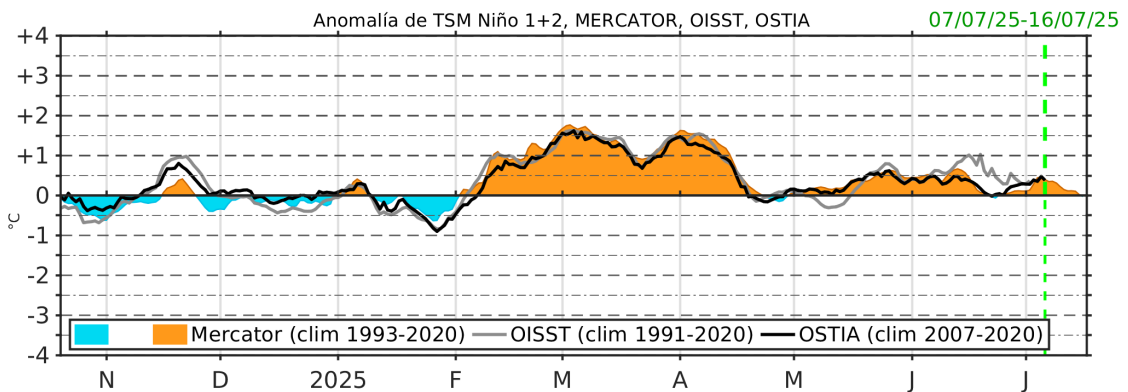
La actividad pesquera de anchoveta en la región Norte-Centro se presentó dentro de las 15 mn entre Punta La Negra y Pimentel con mayor presencia de ejemplares con tallas superiores a 12 cm. Otras zonas activas se localizaron entre Chimbote y Huarney hasta las 30 mn, y dentro de las 20 mn desde Huacho a Pucusana y de Pisco a Bahía Independencia (Figura 10a). Zonas caracterizadas por un escenario cálido de hasta +3,4 °C (Talara) al norte de Punta Falsa, mientras que, hacia el sur continuaron predominando condiciones neutras con núcleos dispersos entre cálidos y fríos de hasta  $\pm 1$  °C (Figura 10b).

# V. PRONÓSTICO



**Figura 11.** Distribución espacial del pronóstico de la velocidad del viento (VV, m/s) y dirección del viento ( $^{\circ}$ ), así como para sus anomalías para los días a) 08, b) 10 y c) 12 de julio de 2025, frente a la costa sudamericana entre Centroamérica y la costa norte de Chile. Fuente: Modelo Climate Forecast System (GFS) de la NOAA. Climatología: 2000-2020.

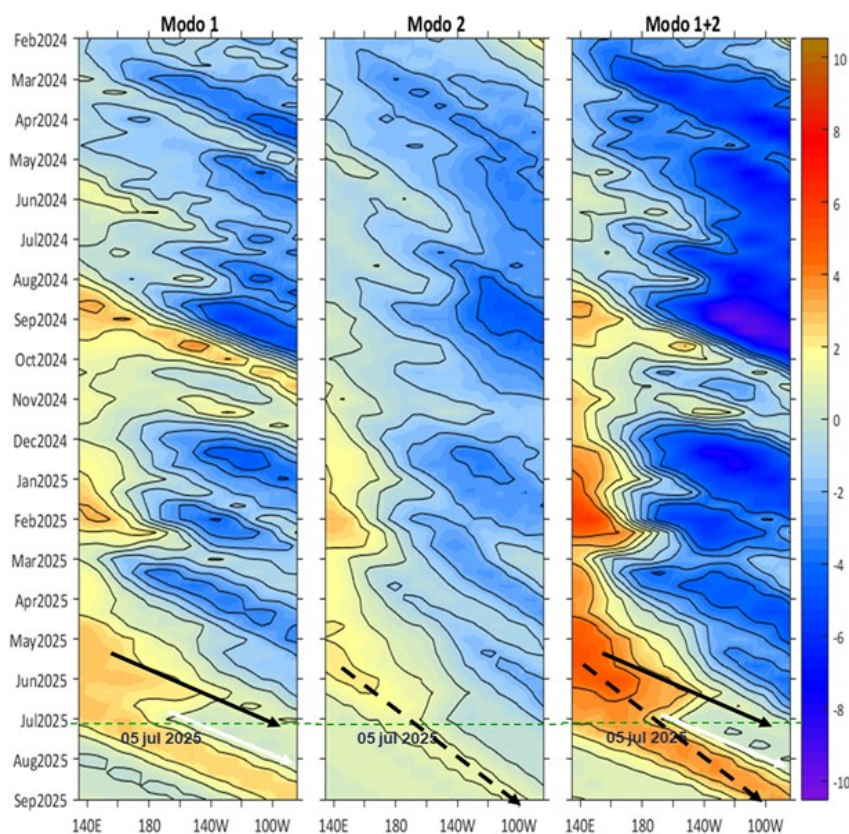
Del 8 al 13 de julio, entre Talara y San Juan de Marcona, la VV variaría de moderada a fuerte; mientras que al norte de Talara, al sur de San Juan de Marcona y en la franja muy costera continuarían VV entre moderadas a débiles. En el sector oceánico sur predominarían anomalías positivas ( $> +1,0$  m/s) del 8 al 11 de julio, mientras que frente a la mayor parte de la costa predominarían anomalías negativas ( $< -1,0$  m/s) del 12 de julio en adelante.



**Figura 12.** Series de tiempo de la anomalía de TSM diaria en la región Niño 1+2, obtenidas a partir del modelo MERCATOR a escala diaria (sombreado celeste y naranja), el producto OISST (línea gris) y el producto OSTIA (línea negra), a partir del promedio climatológico de 1993-2020, 1991-2020 y 2007-2020, respectivamente. La línea discontinua vertical de color verde indica la fecha de inicio del pronóstico de las anomalías de TSM según MERCATOR, hasta el 16 de julio del 2025.

De acuerdo con el modelo MERCATOR, en la región Niño 1+2, hasta el 16 de julio se espera una ligera atenuación de las anomalías de TSM, hasta alcanzar el valor de cero.

Condiciones iniciales: 01-05 de julio, 2025



**Figura 13.** Diagramas Hovmöller longitud-tiempo de las ondas Kelvin ecuatoriales (OKE) en el océano Pacífico ecuatorial entre 130°E y 95°W y en la banda entre 1°N-1°S, forzado con anomalías del esfuerzo del viento ( $N/m^2$ ) del NCEP (Kalnay et al., 1996) de acuerdo con la metodología de Illig et al. (2004) y Dewitte et al. (2002): a) Modo 1, b) Modo 2 y c) Modos 1+2. La línea discontinua horizontal de color verde indica la fecha del inicio del pronóstico con anomalías del esfuerzo del viento igual a cero. Los valores negativos corresponden a ondas Kelvin de afloramiento (frías) y están representadas por flechas discontinuas de color blanco. Los valores positivos corresponden a ondas Kelvin de hundimiento (cálidas) cuya propagación está representada por flechas de color negro sólido (modo 1) y discontinuo (modo 2). Datos del modelo: LMOECC/AFIOF/DGIOCC/IMARPE.

La última simulación del modelo de ondas Kelvin ecuatoriales (OKE) implementado en el IMARPE, forzada con anomalías del esfuerzo del viento ecuatorial superficial obtenidas del NCEP al 05.07.2025, indicó que la OKE cálida (modo 1), mencionada en el BS OBP N°20-2025, ha disminuido su intensidad y habría iniciado su arribo al extremo del Pacífico ecuatorial oriental. Por otro lado, la OKE cálida (modo 2), mencionada en el boletín anterior, continúa su propagación hacia el este y podría alcanzar la costa de Sudamérica en setiembre. Cabe señalar, que las recientes anomalías de vientos del este en el Pacífico ecuatorial central podría generar una OKE fría (modo 1) que alcanzaría las costas de Sudamérica entre julio y agosto.

## RECONOCIMIENTOS

The Group for High Resolution Sea Surface Temperature (GHRSSST) Multi-scale Ultra-high Resolution (MUR) Level 4 OSTIA Global Foundation Sea Surface Temperature Analysis (GDS version 2). Ver. 2.0 data were obtained from the NASA EOSDIS Physical Oceanography Distributed Active Archive Center (PO.DAAC) at the Jet Propulsion Laboratory, Pasadena, CA (<http://dx.doi.org/10.5067/GHGMR-4FJ01>).

IFREMER/CERSAT. 2005. ERS-1 Level 3 Gridded Mean Wind Fields (IFREMER). Ver.1.PO.DAAC, CA, USA (<ftp://anonymous@ftp.ifremer.fr/ifremer/cersat/products/gridded/mwf-ers1>).

The Ssalto/Duacs altimeter products were produced and distributed by the Copernicus Marine and Environment Monitoring Service (CMEMS) (<https://data.marine.copernicus.eu/products>).

The products from the MERCATOR OCEAN system distributed through the Marine Copernicus Service (<https://data.marine.copernicus.eu/products>).

The Pacific Islands Ocean Observing System (PacIOOS) is funded through the National Oceanic and Atmospheric Administration (NOAA) as a Regional Association within the U.S. Integrated Ocean Observing System (IOOS). PacIOOS is coordinated by the University of Hawaii School of Ocean and Earth Science and Technology (SOEST).

Las anomalías del índice de factor de condición fueron determinadas a partir de información brindada por el Laboratorio de Biología Reproductiva de la sede central de IMARPE.

Este boletín es una acción del Programa Presupuesto Por Resultados - PPR 068 El Niño "Reducción de Vulnerabilidad y Atención de Emergencias por Desastres" y su producto "Entidades Informadas en forma permanente y con pronósticos frente al Fenómeno El Niño" del IMARPE.

## REFERENCIAS

- Cuba, A., Sánchez, J., Mori, J., & Chávez, G. (2019). Anomalías de los índices reproductivos fracción desovante e índice gonadosomático de anchoveta peruana *Engraulis ringens* (Jenyns, 1842) del stock norte-centro del Perú en relación a El Niño Costero 2017. *The Biologist*, 17(2).
- Dewitte B., D. Gushchina, Y. du Penhoat and S. Lakeev, 2002: On the importance of subsurface variability for ENSO simulation and prediction with intermediate coupled models of the Tropical Pacific: A case study for the 1997-1998 El Niño. *Geoph. Res. Lett.*, vol. 29, no. 14, 1666, 10.1029/2001GL014452.
- Donlon, C. J, M. Martin, J. Stark, J. Roberts-Jones, E. Fiedler, W. Wimmer, 2012. The Operational Sea Surface Temperature and Sea Ice Analysis (OSTIA) system. *Remote Sen. Env.*, 116, 140-158.
- ENFEN, 2024. Definición operacional de los eventos El Niño Costero y La Niña Costera en el Perú. Nota Técnica. <https://enfen.imarpe.gob.pe/download/nota-tecnica-enfen-01-2024-definicion-operacional-de-los-eventos-el-nino-costero-y-la-nina-costera-en-el-peru/?wpdmdl=1905&ind=1733921744133>
- ENFEN, 2025. Informe Técnico ENFEN. Año 11, N° 08, 11 de junio del 2025, 86 p. <https://enfen.imarpe.gob.pe/download/informe-tecnico-enfen-ano-11-n08-al-11-de-junio-de-2025/?wpdmdl=1948&refresh=684ca640a24bc1749853760>
- Hobday, A. J., Alexander, L. V., Perkins, S. E., Smale, D. A., Straub, S. C., Oliver, E. C. J., ... Wernberg, T. (2016). A hierarchical approach to defining marine heatwaves. *Progress in Oceanography*, 141, 227–238. doi:10.1016/j.pocean.2015.12.014
- Illig, S., B. Dewitte, N. Ayoub, Y. du Penhoat, G. Reverdin, P. De Mey, F. Bonjean and G. S. E. Lagerloef, 2004: Interannual Long Equatorial Waves in the Tropical Atlantic from a High Resolution OGCM Experiment in 1981-2000, *Journal of Geophysical Research*, 109, C02022, doi:10.1029/2003jc001771.
- Kalnay, E., M. Kanamitsu, R. Kistler, W. Collins, D. Deaven, L. Gandin, M. Iredell, S. Saha, G. White, J. Woollen, Y. Zhu, A. Leetmaa, B. Reynolds, M. Chelliah, W. Ebisuzaki, W. Higgins, J. Janowiak, K. Mo, C. Ropelewski, J. Wang, R. Jenne, and D. Joseph, 1996: The NCEP/NCAR 40-Year Reanalysis Project. *Bull. Amer. Meteor. Soc.*, 77, 437–471.
- Kobayashi S, Ota Y, Harada Y, Ebata A, Moriya M, Onoda H, Onogi K, Kamahori H, Kobayashi C, Endo H, Miyaoka K, Takahashi K (2015) The JRA-55 reanalysis: general specifications and basic characteristics. *J Meteor Soc Jpn* 93: 5–48.
- Lellouche, J.-M., Le Galloudec, O., Drévillon, M., Régnier, C., Greiner, E., Garric, G., Ferry, N., Desportes, C., Testut, C.-E., Bricaud, C., Bourdallé-Badie, R., Tranchant, B., Benkiran, M., Drillet, Y., Daudin, A., and De Nicola, C.: Evaluation of global monitoring and forecasting systems at Mercator Océan, *Ocean Sci.*, 9, 57-81, 2013.
- Perea, A., B. Buitrón, J. Mori, J. Sánchez, C. Roque, 2015. Anomalías de los Índices reproductivos de anchoveta *Engraulis ringens* en relación al ambiente. En: *Boletín Trimestral Oceanográfico*, Volumen 1, Números 1-4, pp.: 27-28.
- Pietri, A., Colas, F., Mogollon, R., J. Tam & D. Gutierrez. Marine heatwaves in the Humboldt current system: from 5-day localized warming to year-long El Niños. *Sci Rep* 11, 21172 (2021). <https://doi.org/10.1038/s41598-021-00340-4>
- Quispe Ccallauri, C, J. Tam, H. Demarcq, C. Romero, D. Espinoza, A. Chamorro, J. Ramos, R. Oliveros, 2016. El Índice Térmico Costero Peruano. En: *Boletín Trimestral Oceanográfico*, Volumen 2, Número 1, pp: 7-11.
- Quispe-Ccalluari C, Tam J, Arellano C, Chamorro A, Espinoza-Morriberón D, Romero C, Ramos J. 2015. Desarrollo y aplicación de índices y simulaciones para la vigilancia y el pronóstico a mediano plazo del impacto del ENOS frente a la costa peruana. *Inf. Inst. Mar Perú*, Vol. 44(1):28-34. <https://biblioiimarpe.imarpe.gob.pe/handle/20.500.12958/3149>
- Quispe, J. y L. Vásquez, 2015. Índice “LABCOS” para la caracterización de evento El Niño y La Niña frente a la costa del Perú, 1976-2015. En: *Boletín Trimestral Oceanográfico*, Volumen 1, Números 1-4, pp.: 14-18.

El Boletín Semanal Oceanográfico y Biológico-Pesquero (BS-OBP) presenta la evolución de variables físicas en el océano y la atmósfera, de la estructura físico-química del océano frente a la costa norte-centro del Perú en un contexto temporal de corto plazo y en un marco local-regional. El objetivo del BSOBP es comprender los efectos de la variabilidad de macroescala y regional de corto plazo en las condiciones oceanográficas y biológico-pesqueras del mar peruano. Esta información se sustenta en las redes observacionales in situ que administra el IMARPE y que se ha fortalecido en el marco del Programa Presupuesto Por Resultados - PPR 068 El Niño “Reducción de Vulnerabilidad y Atención de Emergencias por Desastres” y su producto “Entidades Informadas en forma permanente y con pronósticos frente al Fenómeno El Niño” del Estado Peruano. Asimismo, esta información local se complementa con un repertorio de productos satelitales y con mediciones directas de equipamiento de programas y proyectos internacionales con el fin de lograr un análisis integrado del estado del océano. El BS-OBP, asimismo, pretende informar de forma oportuna y permanente sobre el estado del océano a diferentes grupos de interés y sociedad en general y contribuir a mejorar el conocimiento del mar peruano y coadyuvar a la gestión del riesgo de desastres del Estado Peruano.

Servicio de Información Oceanográfica del Fenómeno El Niño (SIOFEN)  
Instituto del Mar del Perú (IMARPE)



IMARPE (2025). Boletín Semanal Oceanográfico y Biológico-Pesquero N°27-2025, 30 de junio - 06 de julio de 2025, Callao, Instituto del Mar del Perú.

<https://siofen.imarpe.gob.pe/boletines-e-informes/BS-OBP>

**Colaboradores:** Katherine Vásquez, Luis Vásquez, Carlos Quispe, Tony Anculle, Daniel Camarena, Javier Sánchez, Dany Ulloa, Cecilia Peña, Carlos Salcedo, Jorge Quispe.

© 2025 Instituto del Mar del Perú

**Suscripciones:** Complete [este formulario](#) o escriba a [siofen@imarpe.gob.pe](mailto:siofen@imarpe.gob.pe).

#### Consultas:

Servicio de Información Oceanográfica del Fenómeno El Niño, SIOFEN  
Laboratorio de Hidrofísica Marina/AFOF  
Dirección General de Investigaciones Oceanográficas y Cambio Climático  
Instituto del Mar del Perú  
Esquina Gamarra y General Valle S/N, Chucuito, Callao - Perú.  
Correo electrónico: [siofen@imarpe.gob.pe](mailto:siofen@imarpe.gob.pe).  
Teléfono: (51 1) 208 8650 (Extensión 824).

**Foto en la portada:** Mar peruano (© M. Sarmiento/IMARPE).